

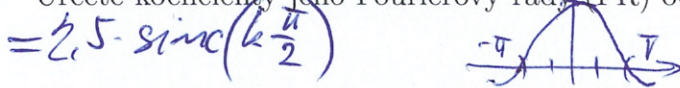
Semestrální zkouška ISS/VSG, 1. opravný termín, 26.1.2022, skupina A

Login: Příjmení a jméno: Podpis: REF
 (čitelně!) $\omega = 0,5 \text{ rad/s}$ $T_1 = 1 \text{ ms}$ $\omega_1 = \frac{2\pi}{T_1} = 2000\pi \text{ rad/s}$

Příklad 1 Periodický signál se spojitým časem má periodu $T_1 = 1 \text{ ms}$. Jedna jeho perioda je dána jako:

$$x(t) = \begin{cases} 5 & \text{pro } -\frac{T_1}{4} < t \leq \frac{T_1}{4} \\ 0 & \text{pro } -\frac{T_1}{2} < t \leq -\frac{T_1}{4} \text{ a pro } \frac{T_1}{4} < t \leq \frac{T_1}{2} \end{cases} c_k = \frac{1}{T_1} \operatorname{sinc}\left(\frac{k\pi}{2} \omega_1\right) = \frac{50,5 \cdot 10^3}{7 \cdot 10^3}.$$

Určete koeficienty jeho Fourierovy řady (FŘ) od c_{-2} do c_2 . Pomůcka: $\operatorname{sinc}\left(\frac{\pi}{2}\right) = 0,64$. $\operatorname{sinc}(0,25 \cdot 10^3 \cdot 2000\pi)$



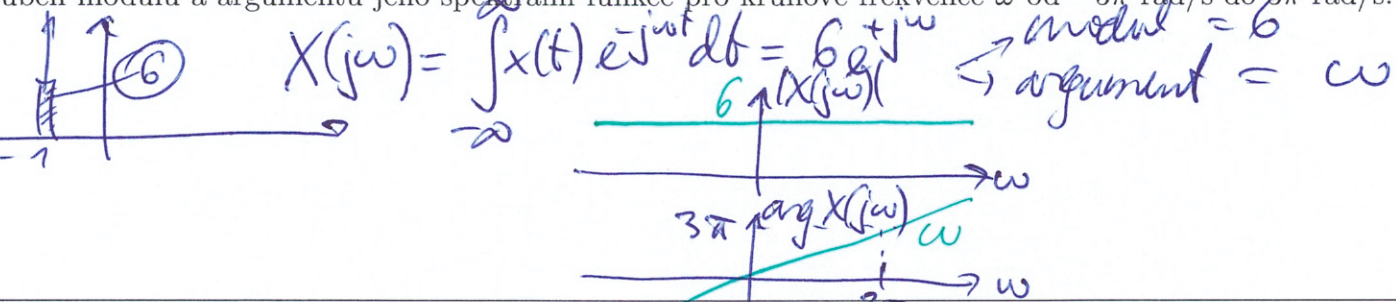
$$c_{-2} = 0 \quad c_{-1} = 1,6 \quad c_0 = 2,5 \quad c_1 = 1,6 \quad c_2 = 0$$

Příklad 2 Argumenty koeficientů FŘ pro periodický signál se spojitým časem $x(t)$ se základní kruhovou frekvencí $\omega_1 = 0,1\pi \text{ rad/s}$ jsou pro $k = 0, 1, 2, 3$ tyto: $\arg c_{x0} = 0$, $\arg c_{x1} = 0$, $\arg c_{x2} = 0$, $\arg c_{x3} = \pi$. Signál byl v čase posunut: $y(t) = x(t - 2)$. Napište hodnoty argumentů koeficientů FŘ posunutého signálu. Ve výsledcích můžete ponechat π .

$$\arg c_{y0} = \arg c_{x0} - k\omega_1 T = \arg c_{x0} - k \cdot 2 \cdot 0,1\pi = \\ = \arg c_{x0} - 0,2\pi$$

$$\arg c_{y0} = 0 \quad \arg c_{y1} = -0,2\pi \quad \arg c_{y2} = -0,4\pi \quad \arg c_{y3} = \pi - 0,6\pi = 0,4\pi$$

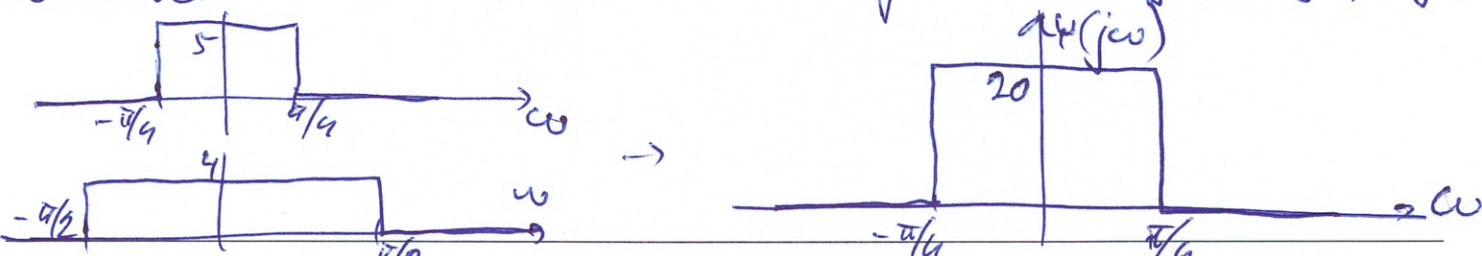
Příklad 3 Signál se spojitým časem je dán: $x(t) = 6\delta(t + 1)$, kde $\delta(t)$ je Diracův impuls. Nakreslete průběh modulu a argumentu jeho spektrální funkce pro kruhové frekvence ω od $-3\pi \text{ rad/s}$ do $3\pi \text{ rad/s}$.



Příklad 4 Jsou dány signály se spojitým časem $x_1(t)$ a $x_2(t)$ s následujícími spektrálními funkcemi:

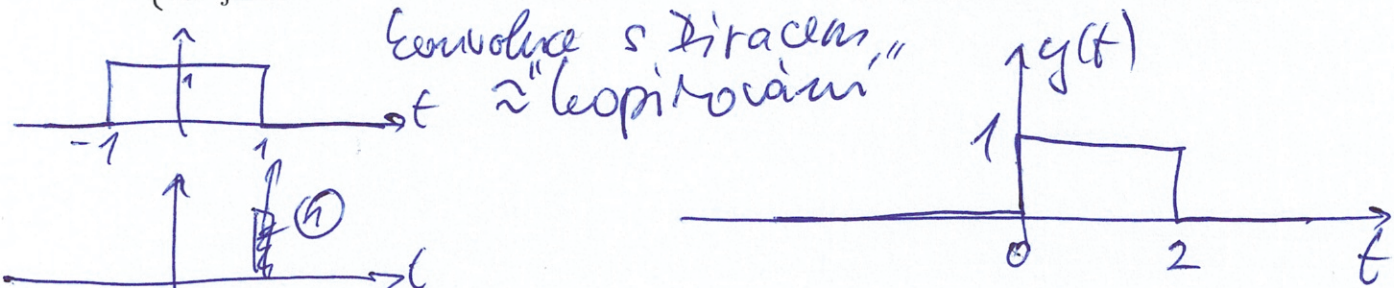
$$X_1(j\omega) = \begin{cases} 5 & \text{pro } -\frac{\pi}{4} < \omega < \frac{\pi}{4} \\ 0 & \text{jinde} \end{cases} \quad X_2(j\omega) = \begin{cases} 4 & \text{pro } -\frac{\pi}{2} < \omega < \frac{\pi}{2} \\ 0 & \text{jinde} \end{cases}$$

Určete a nakreslete spektrální funkci $Y(j\omega)$ jejich konvoluce $y(t) = x_1(t) * x_2(t)$. $Y(j\omega) = X_1(j\omega)X_2(j\omega)$



Příklad 5 Jsou dány dva signály se spojitým časem, obdélník a posunutý Diracův impuls:

$$x_1(t) = \begin{cases} 1 & \text{pro } -1 < t < 1 \\ 0 & \text{jinde} \end{cases} \quad x_2(t) = \delta(t - 1). \text{ Nakreslete jejich konvoluci } y(t) = x_1(t) * x_2(t).$$



Příklad 6 Je zadána přenosová funkce systému se spojitým časem: $H(s) = \frac{s-1}{s^2 - 2s + 1}$.

Popište tento systém diferenciální rovnicí.

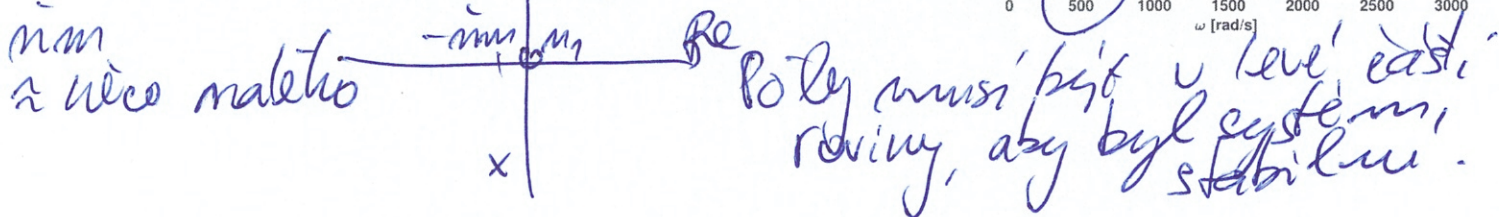
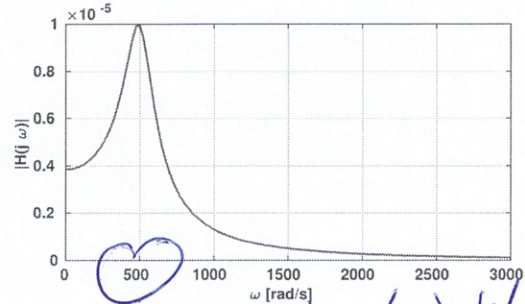
$$\frac{Y(s)}{X(s)} = \frac{s-1}{s^2 - 2s + 1}$$

$$Y(s)(s^2 - 2s + 1) = X(s)(s-1)$$

$$\frac{dy^2(t)}{dt^2} - 2 \frac{dy(t)}{dt} + y(t) = \frac{dx(t)}{dt} - x(t)$$

Příklad 7 Na obrázku je průběh modulu frekvenční charakteristiky $H(j\omega)$ systému se spojitým časem. Víte, že systém má jeden nulový bod $n_1 = 0$ a dva komplexně sdružené póly $p_{1,2}$. Napište tyto póly ve složkovém ~~tvaru~~ ^{tvaru}, jejich reálná složka může být přibližně, imaginární složka co nejpřesněji. Zakreslete je do komplexní roviny "s".

$$x - 500j \quad 500j$$



$$p_1 = -500j \quad p_2 = 500j$$

Příklad 8 Systém se spojitým časem je filtr typu dolní propust, modul jeho přenosové funkce je dán: $|H(j\omega)| = \begin{cases} 100 & \text{pro } -16000\pi < \omega < 16000\pi \\ 0 & \text{jinde} \end{cases}$ a argument: $\arg H(j\omega) = -\frac{\omega}{10000}$.

Na vstupu je komplexní exponenciál $x(t) = 14e^{j4000\pi t}$. Napište výraz pro výstupní signál.

$$H = 100 \cdot e^{-j\frac{16000\pi}{10000}} \rightarrow \text{prode} \quad y(t) = 14 e^{j4000\pi t} \cdot 100 \cdot e^{-j\frac{16000\pi}{10000}} = 1400 e^{-j\frac{12000\pi}{10000}} e^{j4000\pi t} \quad 1400 e^{-j\frac{12000\pi}{10000}}$$

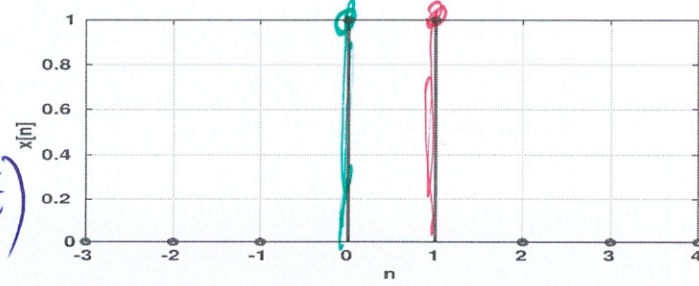
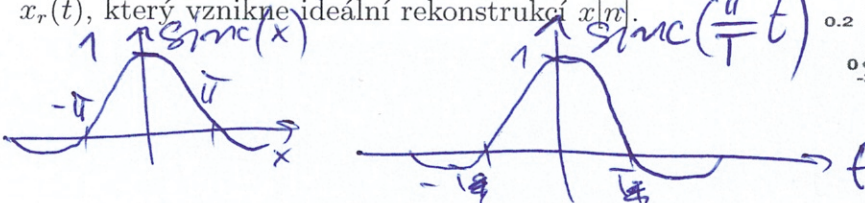
Příklad 9 Jaká bude mezní frekvence f_{max} (cut-off frequency) dolní propusti, která má fungovat jako anti-aliasingový filtr pro vzorkování na vzorkovací frekvenci $F_s = 48000$ Hz? Frekvenci napište v Hertzích.

$$f_{max} = F_s/2$$

$$f_{max} = 24000 \text{ Hz}$$

$$T = \frac{1}{F_s}$$

Příklad 10 Diskrétní signál $x[n]$ vzorkovaný na $F_s = 8000$ Hz má pouze dva nenulové vzorky - viz obrázek. Napište výraz pro signál se spojitým časem $x_r(t)$, který vznikne ideální rekonstrukcí $x[n]$.



$$x_r(t) = \underbrace{\text{sinc}(8000\pi t)}_{\text{blue}} + \underbrace{\text{sinc}\left(8000\pi\left(t - \frac{1}{8000}\right)\right)}_{\text{red}}$$

Příklad 11 V tabulce jsou dány dva diskrétní signály o délce $N = 4$. Vypočtěte a zapište jejich lineární konvoluci $y[n] = x_1[n] * x_2[n]$.

n	0	1	2	3	4	5	6
$x_1[n]$	1	-3	2	5			
$x_2[n]$	2	2	1	-1			
$y[n]$	2	-4	-1	10	15	3	-5

Příklad 12 Pro signály $x_1[n]$ a $x_2[n]$ z předcházejícího příkladu vypočtěte a zapište jejich kruhovou konvoluci $y[n] = x_1[n] \odot x_2[n]$.

$$y[n] = 17 \quad -1 \quad -6 \quad 10$$

Příklad 13 Diskrétní signál $x[n]$ je reálný, hodnotu jeho Fourierovy transformace s diskrétním časem (DTFT) známe pouze na normované kruhové frekvenci $\omega_1 = \frac{\pi}{8}$ rad: $\tilde{X}(e^{j\omega_1}) = 4 - 5j$. Určete hodnotu DTFT na normované kruhové frekvenci $\omega_2 = \frac{5\pi}{8}$ rad. Pokud to nejde, jasně to napište.

$$\tilde{X}(e^{j\omega_2}) = X^*(e^{j(2\pi - \frac{\pi}{8}\omega_1)}) \quad 2\pi - \frac{\pi}{8} = \frac{15\pi}{8} \neq \frac{5\pi}{8}$$

$X(e^{j\omega_2}) = \text{nejde}$

Příklad 14 Je dán signál s diskrétním časem o délce $N = 8$, vzorky $x[0] \dots x[7]$ jsou $1, -1, 1, -1, 1, -1, 1, -1$.

Vypočtěte druhý koeficient jeho Diskrétní Fourierovy transformace (DFT).

$$X[k] = \sum x[n] e^{-j \frac{2\pi}{N} kn} \quad X[2] = \sum x[n] e^{-j \frac{2\pi}{8} 2n} =$$

$$= \sum x[n] e^{-j \frac{\pi}{4} n}$$

$x[n]$	1	-1	1	-1	1	-1	1	-1
$e^{-j \frac{\pi}{4} n}$	1	$-j$	-1	j	1	$-j$	-1	j

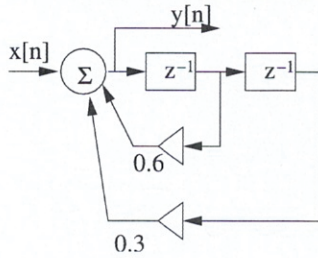
$$X[2] = 0$$

Příklad 15 DFT diskrétního signálu $x[n]$ o délce $N = 8$ se vzorky $x[0] \dots x[7]$: $1, 0, 5, 0, -1, 0, 1, 0$ je $X[k]$. DFT diskrétního signálu $y[n]$ o stejně délce je dána: $Y[k] = X[k]e^{-j \frac{2\pi}{8} k^2}$. Napište signál $y[n]$.

počet je $Y[k] = X[k]e^{-j \frac{2\pi}{8} k^2}$, pak doslova o kruhovém způsobu signálu o m vzorek o dva!

$$y[n] = 1 \quad 0 \quad 1 \quad 0 \quad 5 \quad 0 \quad -1 \quad 0$$

Příklad 16 Podle schématu číslicového filtru napište jeho přenosovou funkci



$$\begin{aligned} y[n] &= x[n] + 0.6y[n-1] + 0.3y[n-2] \\ Y(z) [1 - 0.6z^{-1} - 0.3z^{-2}] &= X(z) \quad H(z) = \frac{Y(z)}{X(z)} \end{aligned}$$

$$H(z) = \frac{1}{1 - 0.6z^{-1} - 0.3z^{-2}}$$

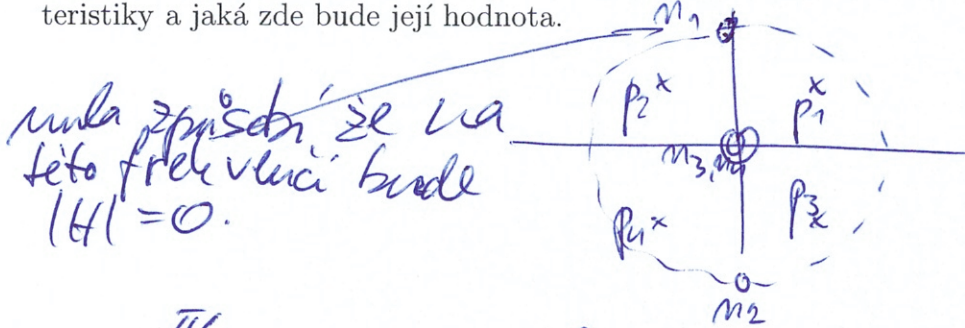
Příklad 17 Číslicový filtr IIR má přenosovou funkci $H(z) = \frac{1}{1 + 4z^{-2}}$. Určete, zda je tento filtr stabilní, je nutné krátké zdůvodnění, ne pouze odpověď ano/ne.

$$\text{Vadáme polty jincozatle } P_{1/2} = \frac{-0 \pm \sqrt{0 - 4 \cdot 4}}{2} = \pm \frac{\sqrt{-16}}{2} = \pm 2j$$

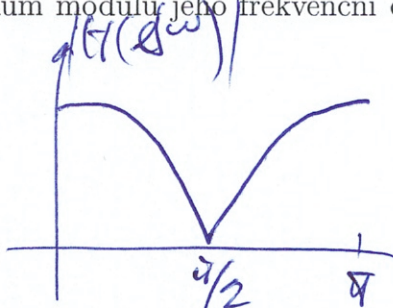
póly mimo jeho vnitřní hranici \Rightarrow nestabilní!

Příklad 18 Číslicový filtr typu pásmová zádrž má 4 nulové body: $n_1 = e^{j0.5\pi}$, $n_2 = e^{-j0.5\pi}$, $n_3 = n_4 = 0$, a 4 póly: $p_1 = 0.7e^{j0.25\pi}$, $p_2 = 0.7e^{j0.75\pi}$, $p_3 = p_1^*$, $p_4 = p_2^*$ (hvězdička značí komplexní sdružení).

Určete, na jaké normované kruhové frekvenci ω_{min} bude ležet minimum modulu jeho frekvenční charakteristiky a jaká zde bude její hodnota.



$$\omega_{min} = \frac{\pi}{2} \text{ rad}, \quad H(e^{j\omega_{min}}) = 0$$



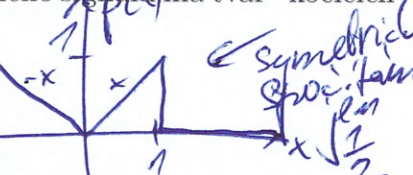
Příklad 19 Funkce hustoty rozdělení pravděpodobnosti stacionárního náhodného signálu má tvar "kočičích uší":

$$p(x) = \begin{cases} -x & \text{pro } -1 < x \leq 0 \\ x & \text{pro } 0 < x \leq 1 \\ 0 & \text{jinde} \end{cases}$$

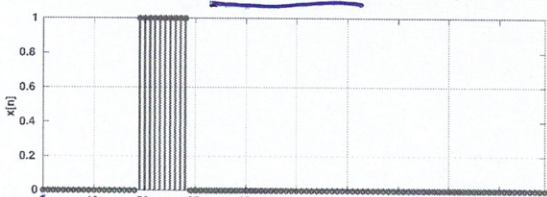
$$D = \int_{-\infty}^{\infty} p(x)(x-a)^2 dx = 2 \int_0^1 x(x-0)^2 dx = 2 \int_0^1 x^3 dx =$$

$$= 2 \left[\frac{x^4}{4} \right]_0^1 = 2 \cdot \frac{1}{4} = \frac{1}{2}$$

$$D = \frac{1}{2}$$

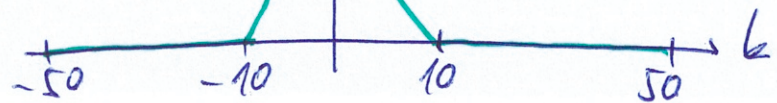


Příklad 20 Na obrázku je průběh náhodného signálu $x[n]$ o délce $N = 100$ vzorků (nenulových vzorků je 10). Nakreslete vychýlený odhad jeho autokorelačních koeficientů $R[k]$ pro k od -50 do $+50$.



$$R[k] = \frac{1}{N} \sum_{n=0}^{N-1} x[n] \bar{x}[n+k] = \frac{1}{100} \sum_{n=0}^{99} x[n] \bar{x}[n+k]$$

při $k=0$ předryv všechn vzorků, kde postupne "ubývají"



Semestrální zkouška ISS/VSG, 1. opravný termín, 26.1.2022, skupina B

Login: Příjmení a jméno: Podpis:
 (čitelně!)

Příklad 1 Periodický signál se spojitým časem má periodu $T_1 = 1$ ms. Jedna jeho perioda je dána jako:

$$x(t) = \begin{cases} 10 & \text{pro } -\frac{T_1}{4} < t \leq \frac{T_1}{4} \\ 0 & \text{pro } -\frac{T_1}{2} < t \leq -\frac{T_1}{4} \text{ a pro } \frac{T_1}{4} < t \leq \frac{T_1}{2} \end{cases}$$

viz A

Určete koeficienty jeho Fourierovy řady (FŘ) od c_{-2} do c_2 . Pomůcka: $\text{sinc}(\frac{\pi}{2}) = 0.64$.

$$c_2 = 5 \text{sinc}\left(6\frac{\pi}{2}\right)$$

$$c_{-2} = 0 \quad c_{-1} = 3,2 \quad c_0 = 5 \quad c_1 = 3,2 \quad c_2 = 0$$

Příklad 2 Argumenty koeficientů FŘ pro periodický signál se spojitým časem $x(t)$ se základní kruhovou frekvencí $\omega_1 = 0.1\pi$ rad/s jsou pro $k = 0, 1, 2, 3$ tyto: $\arg c_{x0} = 0$, $\arg c_{x1} = 0$, $\arg c_{x2} = 0$, $\arg c_{x3} = \pi$. Signál byl v čase posunut: $y(t) = x(t - 2)$. Napište hodnoty argumentů koeficientů FŘ posunutého signálu. Ve výsledcích můžete ponechat π .

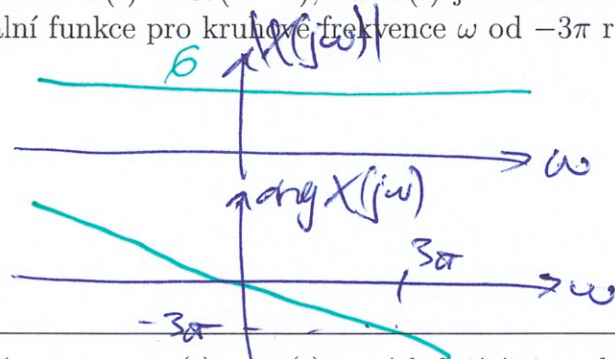
viz A

$$\arg c_{y0} = \arg c_{y1} = \arg c_{y2} = \arg c_{y3} =$$

Příklad 3 Signál se spojitým časem je dán: $x(t) = 6\delta(t - 1)$, kde $\delta(t)$ je Diracův impuls. Nakreslete průběh modulu a argumentu jeho spektrální funkce pro kruhové frekvence ω od -3π rad/s do 3π rad/s.

viz A

$$X(j\omega) = 6e^{-j\omega}$$



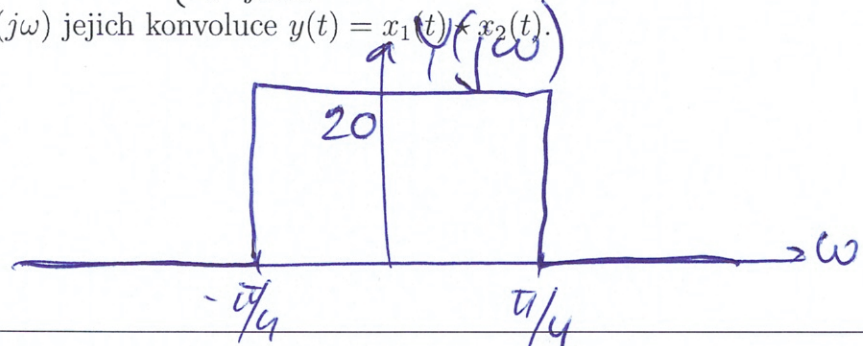
Příklad 4 Jsou dány signály se spojitým časem $x_1(t)$ a $x_2(t)$ s následujícími spektrálními funkcemi:

$$X_1(j\omega) = \begin{cases} 5 & \text{pro } -\frac{\pi}{4} < \omega < \frac{\pi}{4} \\ 0 & \text{jinde} \end{cases} \quad X_2(j\omega) = \begin{cases} 4 & \text{pro } -\frac{\pi}{3} < \omega < \frac{\pi}{3} \\ 0 & \text{jinde} \end{cases}$$

Určete a nakreslete spektrální funkci $Y(j\omega)$ jejich konvoluce $y(t) = x_1(t) * x_2(t)$.

viz A

$$\frac{\pi}{4} < \frac{\pi}{3}$$



Příklad 5 Jsou dány dva signály se spojitým časem, obdélník a posunutý Diracův impuls:

$$x_1(t) = \begin{cases} 1 & \text{pro } -1 < t < 1 \\ 0 & \text{jinde} \end{cases} \quad x_2(t) = \delta(t - 2). \text{ Nakreslete jejich konvoluci } y(t) = x_1(t) * x_2(t).$$

viz A



Příklad 6 Je zadána přenosová funkce systému se spojitým časem: $H(s) = \frac{s+1}{s^2 - 2s + 1}$.

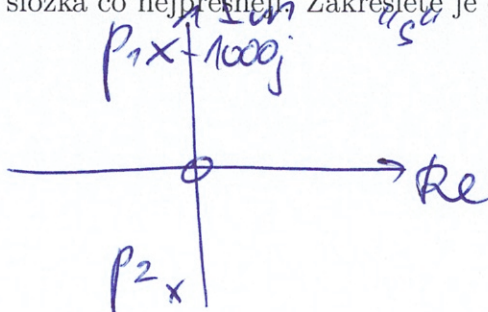
Popište tento systém diferenciální rovnicí.

viz A

$$\frac{dy^2(t)}{dt^2} - 2 \frac{dy(t)}{dt} + y(t) = \frac{dx(t)}{dt} + x(t)$$

Příklad 7 Na obrázku je průběh modulu frekvenční charakteristiky $H(j\omega)$ systému se spojitým časem. Víte, že systém má jeden nulový bod $n_1 = 0$ a dva komplexně sdružené póly $p_{1,2}$. Napište tyto póly ve složkovém tvaru, jejich reálná složka může být přibližně, imaginární složka co nejpřesněji. Zakreslete je do komplexní roviny "s".

viz A



$$p_1 = -im + 1000j \quad p_2 = -im - 1000j$$

Příklad 8 Systém se spojitým časem je filtr typu dolní propust, modul jeho přenosové funkce je dán: $|H(j\omega)| = \begin{cases} 100 & \text{pro } -16000\pi < \omega < 16000\pi \\ 0 & \text{jinde} \end{cases}$ a argument: $\arg H(j\omega) = -\frac{\omega}{10000}$.

Na vstupu je komplexní exponenciála $x(t) = 15e^{j7000\pi t}$. Napишte výraz pro výstupní signál.

viz A

$$y(t) = 1500 e^{-j0.7\pi t} e^{j7000\pi t}$$

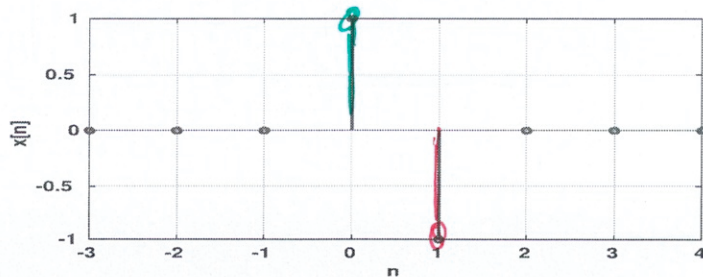
$$\text{nebo } 1500 e^{j(7000\pi t - 0.7\pi)}$$

Příklad 9 Jaká bude mezní frekvence f_{max} (cut-off frequency) dolní propusti, která má fungovat jako anti-aliasingový filtr pro vzorkování na vzorkovací frekvenci $F_s = 44100$ Hz? Frekvenci napište v Hertzích.

$$f_{max} = 22050 \text{ Hz}$$

Příklad 10 Diskrétní signál $x[n]$ vzorkovaný na $F_s = 8000$ Hz má pouze dva nenulové vzorky - viz obrázek. Napište výraz pro signál se spojitým časem $x_r(t)$, který vznikne ideální rekonstrukcí $x[n]$.

viz A



$$x_r(t) = \underline{\operatorname{sinc}(8000\pi t)} - \underline{\operatorname{sinc}\left(8000\pi \left(t - \frac{1}{8000}\right)\right)}$$

Příklad 11 V tabulce jsou dány dva diskrétní signály o délce $N = 4$. Vypočtěte a zapište jejich lineární konvoluci $y[n] = x_1[n] \star x_2[n]$.

n	0	1	2	3	4	5	6
$x_1[n]$	1	-3	2	5			
$x_2[n]$	2	1	1	-1			
$y[n]$	2	-5	2	8	10	3	-5

Příklad 12 Pro signály $x_1[n]$ a $x_2[n]$ z předcházejícího příkladu vypočtěte a zapište jejich kruhovou konvoluci $y[n] = x_1[n] \odot x_2[n]$.

$$\bar{y}[n] = 12 \quad -2 \quad -3 \quad 8$$

Příklad 13 Diskrétní signál $x[n]$ je reálný, hodnotu jeho Fourierovy transformace s diskrétním časem (DTFT) známe pouze na normované kruhové frekvenci $\omega_1 = \frac{\pi}{8}$ rad: $\tilde{X}(e^{j\omega_1}) = 4 + 3j$. Určete hodnotu DTFT na normované kruhové frekvenci $\omega_2 = \frac{5\pi}{8}$ rad. Pokud to nejde, jasně to napište.

viz A

$$\tilde{X}(e^{j\omega_2}) = \text{nejde}$$

Příklad 14 Je dan signál s diskrétním časem o délce $N = 8$, vzorky $x[0] \dots x[7]$ jsou $0, 1, 0, 1, 0, 1, 0, 1$.

Vypočtěte druhý koeficient jeho Diskrétní Fourierovy transformace (DFT).

viz A

$x[n]$	0	1	0	1	0	1	0	1
$e^{-jn\frac{\pi}{4}}$	1	j	-1	j	1	$-j$	-1	j

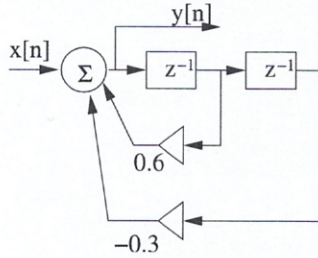
$$X[2] = 0$$

Příklad 15 DFT diskrétního signálu $x[n]$ o délce $N = 8$ se vzorky $x[0] \dots x[7]$: $1, 0, 5, 0, -1, 0, 1, 0$ je $X[k]$. DFT diskrétního signálu $y[n]$ o stejně délce je dána: $Y[k] = X[k]e^{-j\frac{2\pi}{8}k^3}$. Napište signál $y[n]$.

viz A, kruh. zpoždění o 3 vzorky

$$\bar{y}[n] = 0 \quad 1 \quad 0 \quad 1 \quad 0 \quad 5 \quad 0 \quad -1$$

Příklad 16 Podle schématu číslicového filtru napište jeho přenosovou funkci.



viz A

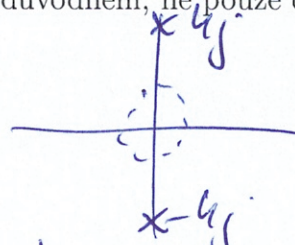
$$H(z) = \frac{1}{1 - 0.6z^{-1} + 0.3z^{-2}}$$

Příklad 17 Číslicový filtr IIR má přenosovou funkci $H(z) = \frac{1}{1 + 16z^{-2}}$.

Určete, zda je tento filtr stabilní, je nutné krátké zdůvodnění, ne pouze odpověď ano/ne.

viz A

$$P_{1/2} = \pm 4j$$



póly mimo jednotl. kružnice \rightarrow nestabilní

Příklad 18 Číslicový filtr typu pásmová zádrž má 4 nulové body: $n_1 = e^{j0.5\pi}$, $n_2 = e^{-j0.5\pi}$, $n_3 = n_4 = 0$, a 4 póly: $p_1 = 0.7e^{j0.25\pi}$, $p_2 = 0.7e^{j0.75\pi}$, $p_3 = p_1^*$, $p_4 = p_2^*$ (hvězdička značí komplexní sdružení).

Určete, na jaké normované kruhové frekvenci ω_{min} bude ležet minimum modulu jeho frekvenční charakteristiky a jaká zde bude její hodnota.

viz A

$$\omega_{min} = \frac{\pi}{2} \text{ rad}, \quad H(e^{j\omega_{min}}) = 0$$

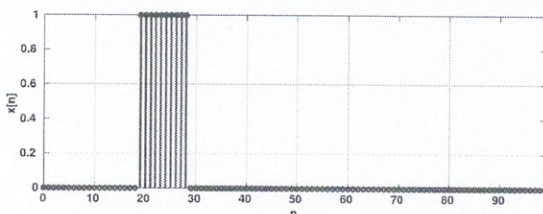
Příklad 19 Funkce hustoty rozdělení pravděpodobnosti stacionárního náhodného signálu má tvar "kočičích uší":

$$p(x) = \begin{cases} -x & \text{pro } -1 < x \leq 0 \\ x & \text{pro } 0 < x \leq 1 \\ 0 & \text{jinde} \end{cases} \quad \text{Určete rozptyl (varianci) tohoto signálu.}$$

$$D = \frac{1}{12}$$

viz A

Příklad 20 Na obrázku je průběh náhodného signálu $x[n]$ o délce $N = 100$ vzorků (nenulových vzorků je 10). Nakreslete vychýlený odhad jeho autokorelačních koeficientů $R[k]$ pro k od -50 do +50.



viz A

Semestrální zkouška ISS/VSG, 1. opravný termín, 26.1.2022, skupina C

Login: Příjmení a jméno: Podpis:
(čitelně!)

Příklad 1 Periodický signál se spojitým časem má periodu $T_1 = 1$ ms. Jedna jeho perioda je dána jako:
 $x(t) = \begin{cases} 15 & \text{pro } -\frac{T_1}{4} < t \leq \frac{T_1}{4} \\ 0 & \text{pro } -\frac{T_1}{2} < t \leq -\frac{T_1}{4} \text{ a pro } \frac{T_1}{4} < t \leq \frac{T_1}{2} \end{cases}$ viz A

Určete koeficienty jeho Fourierovy řady (FŘ) od c_{-2} do c_2 . Pomůcka: $\text{sinc}(\frac{\pi}{2}) = 0.64$.

$$c_k = 7,5 \text{ sinc}\left(\frac{k\pi}{2}\right)$$

$$c_{-2} = 0 \quad c_{-1} = 4,8 \quad c_0 = 7,5 \quad c_1 = 4,8 \quad c_2 = 0$$

Příklad 2 Argumenty koeficientů FŘ pro periodický signál se spojitým časem $x(t)$ se základní kruhovou frekvencí $\omega_1 = 0.1\pi$ rad/s jsou pro $k = 0, 1, 2, 3$ tyto: $\arg c_{x0} = 0$, $\arg c_{x1} = 0$, $\arg c_{x2} = 0$, $\arg c_{x3} = \pi$. Signál byl v čase posunut: $y(t) = x(t+2)$. Napište hodnoty argumentů koeficientů FŘ posunutého signálu. Ve výsledcích můžete ponechat π .

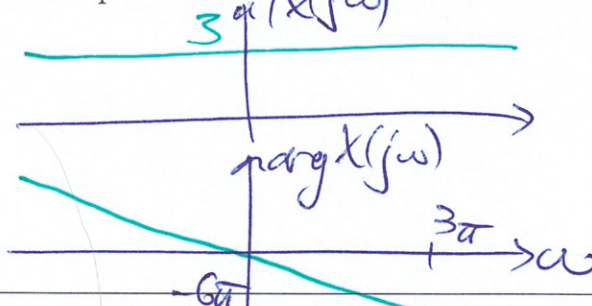
$$\begin{aligned} \arg c_{y1} &= \arg c_{x0} + k\omega_1 T = \arg c_{x0} + k \cdot 2 \cdot 0.1\pi = \\ &= \arg c_{x0} + k \cdot 0.2\pi \end{aligned}$$

$$\arg c_{y0} = 0 \quad \arg c_{y1} = 0.2\pi \quad \arg c_{y2} = 0.4\pi \quad \arg c_{y3} = \pi + 0.6\pi = 1.6\pi$$

Příklad 3 Signál se spojitým časem je dán: $x(t) = 3\delta(t-2)$, kde $\delta(t)$ je Diracův impuls. Nakreslete průběh modulu a argumentu jeho spektrální funkce pro kruhové frekvence ω od -3π rad/s do 3π rad/s.

viz A

$$X(j\omega) = 3e^{j2\omega}$$



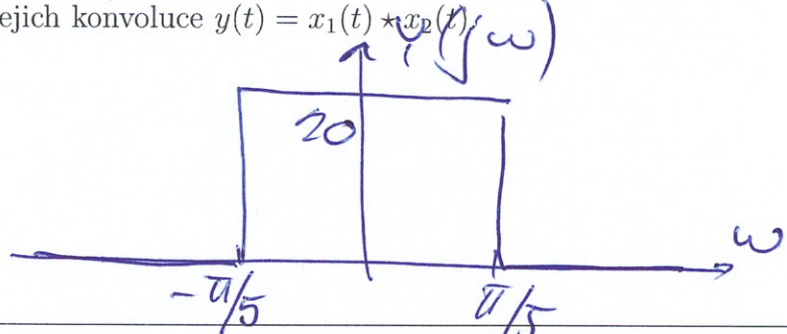
Příklad 4 Jsou dány signály se spojitým časem $x_1(t)$ a $x_2(t)$ s následujícími spektrálními funkcemi:

$$X_1(j\omega) = \begin{cases} 5 & \text{pro } -\frac{\pi}{4} < \omega < \frac{\pi}{4} \\ 0 & \text{jinde} \end{cases} \quad X_2(j\omega) = \begin{cases} 4 & \text{pro } -\frac{\pi}{5} < \omega < \frac{\pi}{5} \\ 0 & \text{jinde} \end{cases}$$

Určete a nakreslete spektrální funkci $Y(j\omega)$ jejich konvoluce $y(t) = x_1(t) * x_2(t)$.

viz A

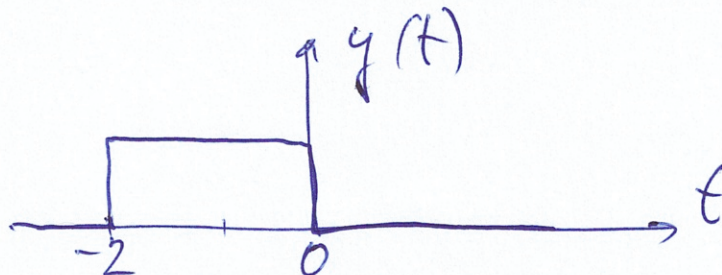
$$\frac{\pi}{5} < \frac{\pi}{4}$$



Příklad 5 Jsou dány dva signály se spojitým časem, obdélník a posunutý Diracův impuls:

$$x_1(t) = \begin{cases} 1 & \text{pro } -1 < t < 1 \\ 0 & \text{jinde} \end{cases} \quad x_2(t) = \delta(t+1). \text{ Nakreslete jejich konvoluci } y(t) = x_1(t) * x_2(t).$$

viz A



Příklad 6 Je zadána přenosová funkce systému se spojitým časem: $H(s) = \frac{s - 1}{s^2 + 2s + 1}$.

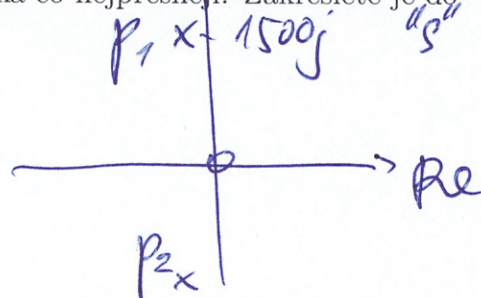
Popište tento systém diferenciální rovnicí.

viz A

$$\frac{dy^2(t)}{dt^2} + 2\frac{dy(t)}{dt} + y(t) = \frac{dx(t)}{dt} - x(t)$$

Příklad 7 Na obrázku je průběh modulu frekvenční charakteristiky $H(j\omega)$ systému se spojitým časem. Víte, že systém má jeden nulový bod $n_1 = 0$ a dva komplexně sdružené póly $p_{1,2}$. Napište tyto póly ve složkovém tvaru, jejich reálná složka může být přibližně, imaginární složka co nejpřesněji. Zakreslete je do komplexní roviny "s".

viz A



$$p_1 = -i\pi + 1500j \quad p_2 = -i\pi - 1500j$$

Příklad 8 Systém se spojitým časem je filtr typu dolní propust, modul jeho přenosové funkce je dán: $|H(j\omega)| = \begin{cases} 100 & \text{pro } -16000\pi < \omega < 16000\pi \\ 0 & \text{jinde} \end{cases}$ a argument: $\arg H(j\omega) = -\frac{\omega}{10000}$.

Na vstupu je komplexní exponenciála $x(t) = 16e^{j17000\pi t}$. Napište výraz pro výstupní signál.

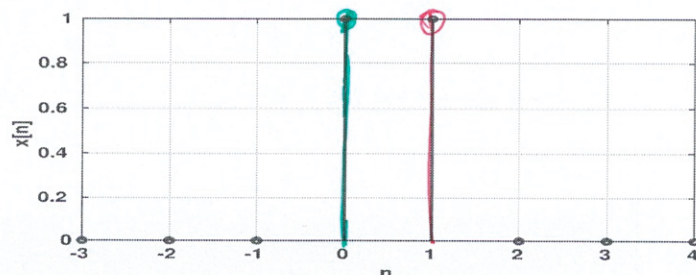
neplatí

$$y(t) = 0$$

Příklad 9 Jaká bude mezní frekvence f_{max} (cut-off frequency) dolní propusti, která má fungovat jako anti-aliasingový filtr pro vzorkování na vzorkovací frekvenci $F_s = 16000$ Hz? Frekvenci napište v Hertzích.

$$f_{max} = 8000 \text{ Hz}$$

Příklad 10 Diskrétní signál $x[n]$ vzorkovaný na $F_s = 8000$ Hz má pouze dva nenulové vzorky - viz obrázek. Napište výraz pro signál se spojitým časem $x_r(t)$, který vznikne ideální rekonstrukcí $x[n]$.



viz A

$$x_r(t) =$$

Příklad 11 V tabulce jsou dány dva diskrétní signály o délce $N = 4$. Vypočtěte a zapište jejich lineární konvoluci $y[n] = x_1[n] \star x_2[n]$.

n	0	1	2	3	
$x_1[n]$	1	-3	2	5	
$x_2[n]$	2	-1	1	-1	
$y[n]$	2	-7	8	4	

4	5	6
0	3	-5

Příklad 12 Pro signály $x_1[n]$ a $x_2[n]$ z předcházejícího příkladu vypočtěte a zapište jejich kruhovou konvoluci $y[n] = x_1[n] \odot x_2[n]$.

$$y[n] = 2 -4 3 4$$

Příklad 13 Diskrétní signál $x[n]$ je reálný, hodnotu jeho Fourierovy transformace s diskrétním časem (DTFT) známe pouze na normované kruhové frekvenci $\omega_1 = \frac{\pi}{8}$ rad: $\tilde{X}(e^{j\omega_1}) = 5 - 2j$. Určete hodnotu DTFT na normované kruhové frekvenci $\omega_2 = \frac{5\pi}{8}$ rad. Pokud to nejde, jasně to napište.

viz A

$$\tilde{X}(e^{j\omega_2}) = \text{nejde}$$

Příklad 14 Je dán signál s diskrétním časem o délce $N = 8$, vzorky $x[0] \dots x[7]$ jsou $-1, 0, 1, 0, -1, 0, 1, 0$. Vypočtěte druhý koeficient jeho Diskrétní Fourierovy transformace (DFT).

viz A

$x[n]$	-1	0	1	0	-1	0	1	0
$e^{j\frac{n\pi}{8}}$	1	$-j$	-1	j	1	$-j$	-1	j

$$X[2] = -4$$

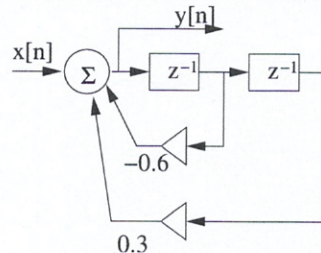
Příklad 15 DFT diskrétního signálu $x[n]$ o délce $N = 8$ se vzorky $x[0] \dots x[7]$: $1, 0, 5, 0, -1, 0, 1, 0$ je $X[k]$. DFT diskrétního signálu $y[n]$ o stejně délce je dána: $Y[k] = X[k] e^{j\frac{2\pi}{8}k^2}$. Napište signál $y[n]$.

viz A, dnu h. předbehnut' o 2 vzorky

$$y[n] = 5 0 -1 0 1 0 1 0$$

C

Příklad 16 Podle schématu číslicového filtru napište jeho přenosovou funkci.



viz A

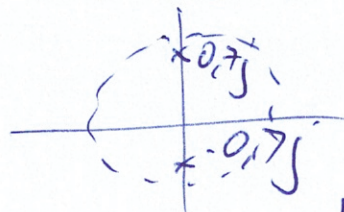
$$H(z) = \frac{1}{1 + 0.6z^{-1} - 0.3z^{-2}}$$

Příklad 17 Číslicový filtr IIR má přenosovou funkci $H(z) = \frac{1}{1 + 0.49z^{-2}}$.

Určete, zda je tento filtr stabilní, je nutné krátké zdůvodnění, ne pouze odpověď ano/ne.

viz A

$$P_{1/2} = \pm j 0.7$$



póly uvnitř jednotkové kružnice \Rightarrow stabilní

Příklad 18 Číslicový filtr typu pásmová zádrž má 4 nulové body: $n_1 = e^{j0.5\pi}$, $n_2 = e^{-j0.5\pi}$, $n_3 = n_4 = 0$, a 4 póly: $p_1 = 0.7e^{j0.25\pi}$, $p_2 = 0.7e^{j0.75\pi}$, $p_3 = p_1^*$, $p_4 = p_2^*$ (hvězdička značí komplexní sdružení).

Určete, na jaké normované kruhové frekvenci ω_{min} bude ležet minimum modulu jeho frekvenční charakteristiky a jaká zde bude její hodnota.

viz A

$$\omega_{min} = \frac{\pi}{2} \text{ rad}, \quad H(e^{j\omega_{min}}) = 0$$

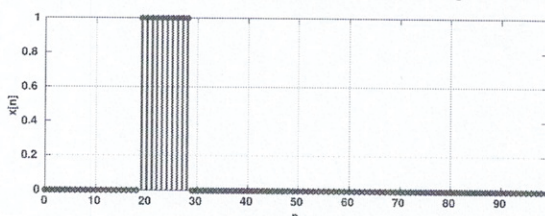
Příklad 19 Funkce hustoty rozdělení pravděpodobnosti stacionárního náhodného signálu má tvar "kočičích uší":

$$p(x) = \begin{cases} -x & \text{pro } -1 < x \leq 0 \\ x & \text{pro } 0 < x \leq 1 \\ 0 & \text{jinde} \end{cases} \quad \text{Určete rozptyl (varianci) tohoto signálu.}$$

$$D = \frac{1}{2}$$

viz A

Příklad 20 Na obrázku je průběh náhodného signálu $x[n]$ o délce $N = 100$ vzorků (nenulových vzorků je 10). Nakreslete vychýlený odhad jeho autokorelačních koeficientů $R[k]$ pro k od -50 do +50.



viz A

Semestrální zkouška ISS/VSG, 1. opravný termín, 26.1.2022, skupina D

Login: Příjmení a jméno: Podpis:
 (čitelně!)

Příklad 1 Periodický signál se spojitým časem má periodu $T_1 = 1$ ms. Jedna jeho perioda je dána jako:
 $x(t) = \begin{cases} 50 & \text{pro } -\frac{T_1}{4} < t \leq \frac{T_1}{4} \\ 0 & \text{pro } -\frac{T_1}{2} < t \leq -\frac{T_1}{4} \text{ a pro } \frac{T_1}{4} < t \leq \frac{T_1}{2} \end{cases}$

Určete koeficienty jeho Fourierovy řady (FŘ) od c_{-2} do c_2 . Pomůcka: $\text{sinc}(\frac{\pi}{2}) = 0.64$.

$$c_k = 25 \text{ sinc}\left(6 \frac{\pi}{2}\right)$$

$$c_{-2} = 0 \quad c_{-1} = 16 \quad c_0 = 25 \quad c_1 = 16 \quad c_2 = 0$$

Příklad 2 Argumenty koeficientů FŘ pro periodický signál se spojitým časem $x(t)$ se základní kruhovou frekvencí $\omega_1 = 0.1\pi$ rad/s jsou pro $k = 0, 1, 2, 3$ tyto: $\arg c_{x0} = 0$, $\arg c_{x1} = 0$, $\arg c_{x2} = 0$, $\arg c_{x3} = \pi$. Signál byl v čase posunut: $y(t) = x(t+2)$. Napište hodnoty argumentů koeficientů FŘ posunutého signálu. Ve výsledcích můžete ponechat π .

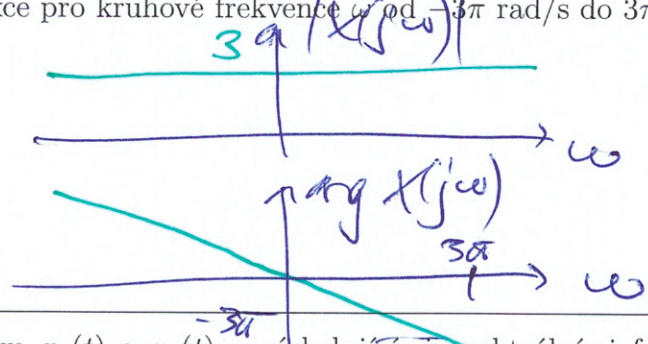
viz C

$$\arg c_{y0} = \arg c_{y1} = \arg c_{y2} = \arg c_{y3} =$$

Příklad 3 Signál se spojitým časem je dán: $x(t) = 3\delta(t-1)$, kde $\delta(t)$ je Diracův impuls. Nakreslete průběh modulu a argumentu jeho spektrální funkce pro kruhové frekvence ω od -3π rad/s do 3π rad/s.

viz A

$$X(j\omega) = 3e^{j\omega}$$



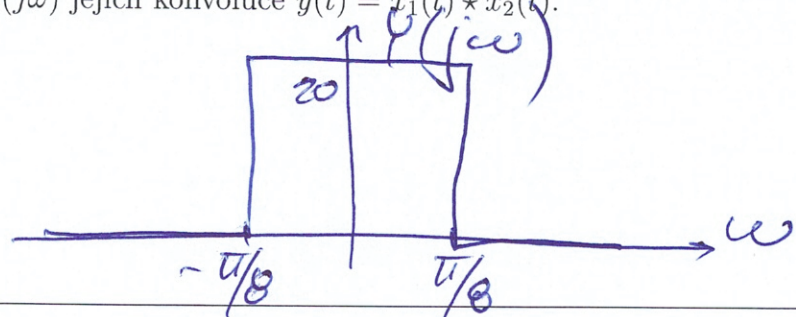
Příklad 4 Jsou dány signály se spojitým časem $x_1(t)$ a $x_2(t)$ s následujícími spektrálními funkcemi:

$$X_1(j\omega) = \begin{cases} 5 & \text{pro } -\frac{\pi}{4} < \omega < \frac{\pi}{4} \\ 0 & \text{jinde} \end{cases} \quad X_2(j\omega) = \begin{cases} 4 & \text{pro } -\frac{\pi}{8} < \omega < \frac{\pi}{8} \\ 0 & \text{jinde} \end{cases}$$

Určete a nakreslete spektrální funkci $Y(j\omega)$ jejich konvoluce $y(t) = x_1(t) * x_2(t)$.

viz A

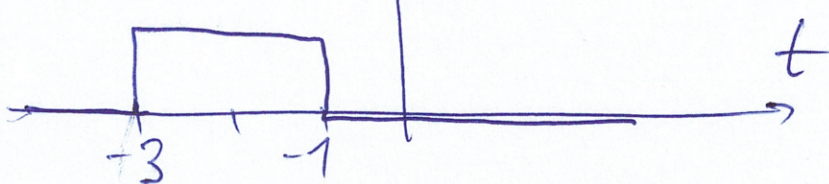
$$\frac{\pi}{8} < \frac{\pi}{4}$$



Příklad 5 Jsou dány dva signály se spojitým časem, obdélník a posunutý Diracův impuls:

$$x_1(t) = \begin{cases} 1 & \text{pro } -1 < t < 1 \\ 0 & \text{jinde} \end{cases} \quad x_2(t) = \delta(t+2). \text{ Nakreslete jejich konvoluci } y(t) = x_1(t) * x_2(t).$$

viz A



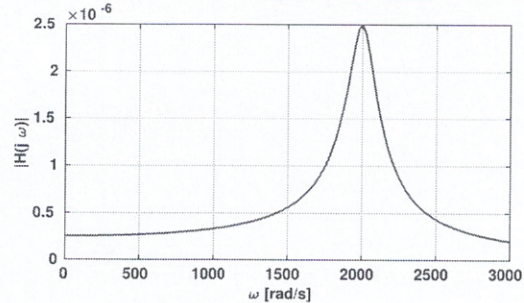
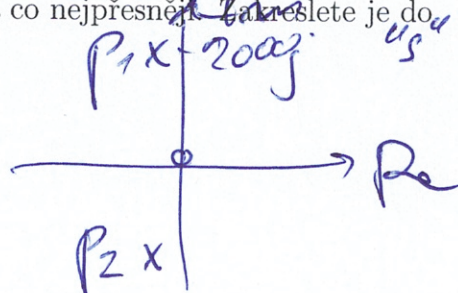
Příklad 6 Je zadána přenosová funkce systému se spojitým časem: $H(s) = \frac{s+1}{s^2 + 2s + 1}$.

Popište tento systém diferenciální rovnicí.

Viz A

$$\frac{dy^2(t)}{dt^2} + 2 \frac{dy(t)}{dt} + g(t) = \frac{dx(t)}{dt} + x(t)$$

Příklad 7 Na obrázku je průběh modulu frekvenční charakteristiky $H(j\omega)$ systému se spojitým časem. Víte, že systém má jeden nulový bod $n_1 = 0$ a dva komplexně sdružené póly $p_{1,2}$. Napište tyto póly ve složkovém tvaru, jejich reálná složka může být přibližně, imaginární složka co nejpřesněji. Takhle je do komplexní roviny "s".



Viz A

$$p_1 = -im + 2000j, \quad p_2 = -im - 2000j$$

Příklad 8 Systém se spojitým časem je filtr typu dolní propust, modul jeho přenosové funkce je dán: $|H(j\omega)| = \begin{cases} 100 & \text{pro } -16000\pi < \omega < 16000\pi \\ 0 & \text{jinde} \end{cases}$ a argument: $\arg H(j\omega) = -\frac{\omega}{10000}$.

Na vstupu je komplexní exponenciála $x(t) = 17e^{j20000\pi t}$. Napište výraz pro výstupní signál.

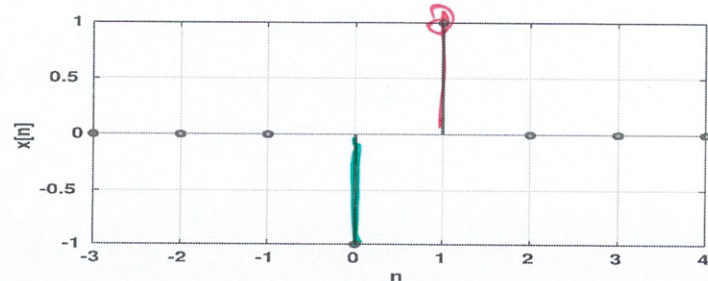
respojid

$$y(t) = 0$$

Příklad 9 Jaká bude mezní frekvence f_{max} (cut-off frequency) dolní propusti, která má fungovat jako anti-aliasingový filtr pro vzorkování na vzorkovací frekvenci $F_s = 8000$ Hz? Frekvenci napište v Hertzích.

$$f_{max} = 4000 \text{ Hz}$$

Příklad 10 Diskrétní signál $x[n]$ vzorkovaný na $F_s = 8000$ Hz má pouze dva nenulové vzorky - viz obrázek. Napište výraz pro signál se spojitým časem $x_r(t)$, který vznikne ideální rekonstrukcí $x[n]$.



$$x_r(t) = -\operatorname{sinc}\left(8000\pi t\right) + \operatorname{sinc}\left(8000\pi\left(t - \frac{1}{8000}\right)\right)$$

Příklad 11 V tabulce jsou dány dva diskrétní signály o délce $N = 4$. Vypočtěte a zapište jejich lineární konvoluci $y[n] = x_1[n] \star x_2[n]$.

n	0	1	2	3			
$x_1[n]$	1	-3	2	5			
$x_2[n]$	2	0	1	-1			
$y[n]$	2	-6	5	6	5	3	-5

Příklad 12 Pro signály $x_1[n]$ a $x_2[n]$ z předcházejícího příkladu vypočtěte a zapište jejich kruhovou konvoluci $y[n] = x_1[n] \circledast x_2[n]$.

$$y[n] = 7 \quad -3 \quad 0 \quad 6$$

Příklad 13 Diskrétní signál $x[n]$ je reálný, hodnotu jeho Fourierovy transformace s diskrétním časem (DTFT) známe pouze na normované kruhové frekvenci $\omega_1 = \frac{\pi}{8}$ rad: $\tilde{X}(e^{j\omega_1}) = 4 + 4j$. Určete hodnotu DTFT na normované kruhové frekvenci $\omega_2 = \frac{5\pi}{8}$ rad. Pokud to nejde, jasně to napište.

viz A

$$\tilde{X}(e^{j\omega_2}) = \text{nejde}$$

Příklad 14 Je dan signál s diskrétním časem o délce $N = 8$, vzorky $x[0] \dots x[7]$ jsou $1, 0, 1, 0, 1, 0, 1, 0$.

Vypočtěte druhý koeficient jeho Diskrétní Fourierovy transformace (DFT).

viz A

$x[n]$	1	0	1	0	1	0	1	0
$e^{j\frac{n\pi}{4}}$	1	j	-1	j	1	j	-1	j

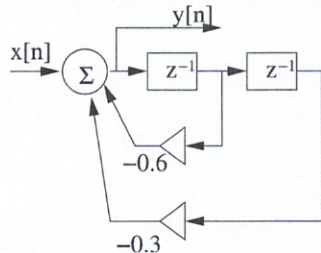
$$X[2] = 0$$

Příklad 15 DFT diskrétního signálu $x[n]$ o délce $N = 8$ se vzorky $x[0] \dots x[7]$: $1, 0, 5, 0, -1, 0, 1, 0$ je $X[k]$. DFT diskrétního signálu $y[n]$ o stejně délce je dána: $Y[k] = X[k]e^{\frac{j2\pi}{8}k3}$. Napište signál $y[n]$.

viz A, kruhové předběhnutí o 3
vzorky

$$y[n] = 0 \quad -1 \quad 0 \quad 1 \quad 0 \quad 1 \quad 0 \quad 5$$

Příklad 16 Podle schématu číslicového filtru napište jeho přenosovou funkci.



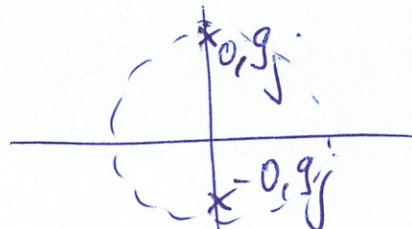
viz A

$$H(z) = \frac{1}{1 + 0.6z^{-1} + 0.3z^{-2}}$$

Příklad 17 Číslicový filtr IIR má přenosovou funkci $H(z) = \frac{1}{1 + 0.81z^{-2}}$.

Určete, zda je tento filtr stabilní, je nutné krátké zdůvodnění, ne pouze odpověď ano/ne.

viz A



$$P_{1/2} = \pm 0.9j$$

pole uvnitř jednot. kružnice \Rightarrow stabilní

Příklad 18 Číslicový filtr typu pásmová zádrž má 4 nulové body: $n_1 = e^{j0.5\pi}$, $n_2 = e^{-j0.5\pi}$, $n_3 = n_4 = 0$, a 4 póly: $p_1 = 0.7e^{j0.25\pi}$, $p_2 = 0.7e^{j0.75\pi}$, $p_3 = p_1^*$, $p_4 = p_2^*$ (hvězdička značí komplexní sdružení). Určete, na jaké normované kruhové frekvenci ω_{min} bude ležet minimum modulu jeho frekvenční charakteristiky a jaká zde bude její hodnota.

viz A

$$\omega_{min} = \frac{\pi}{2} \text{ rad}, \quad H(e^{j\omega_{min}}) = 0$$

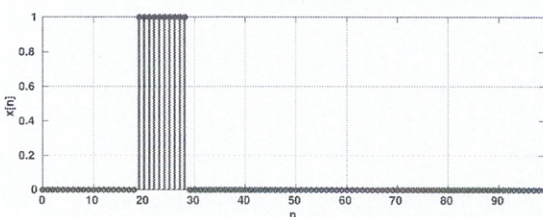
Příklad 19 Funkce hustoty rozdělení pravděpodobnosti stacionárního náhodného signálu má tvar "kočičích uší":

$$p(x) = \begin{cases} -x & \text{pro } -1 < x \leq 0 \\ x & \text{pro } 0 < x \leq 1 \\ 0 & \text{jinde} \end{cases} \quad \text{Určete rozptyl (varianci) tohoto signálu.}$$

viz A

$$D = \frac{1}{2}$$

Příklad 20 Na obrázku je průběh náhodného signálu $x[n]$ o délce $N = 100$ vzorků (nenulových vzorků je 10). Nakreslete vychýlený odhad jeho autokorelačních koeficientů $R[k]$ pro k od -50 do +50.



viz A